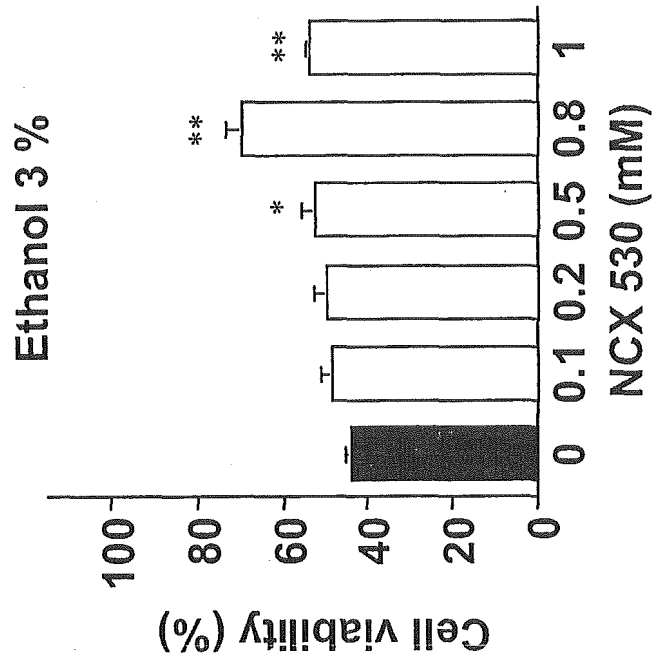
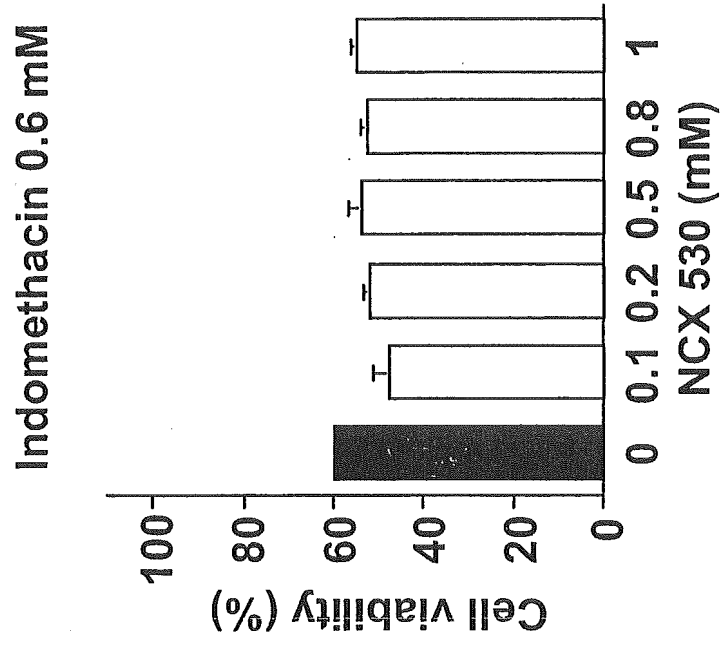


Tomisato et al. Fig. 2

B

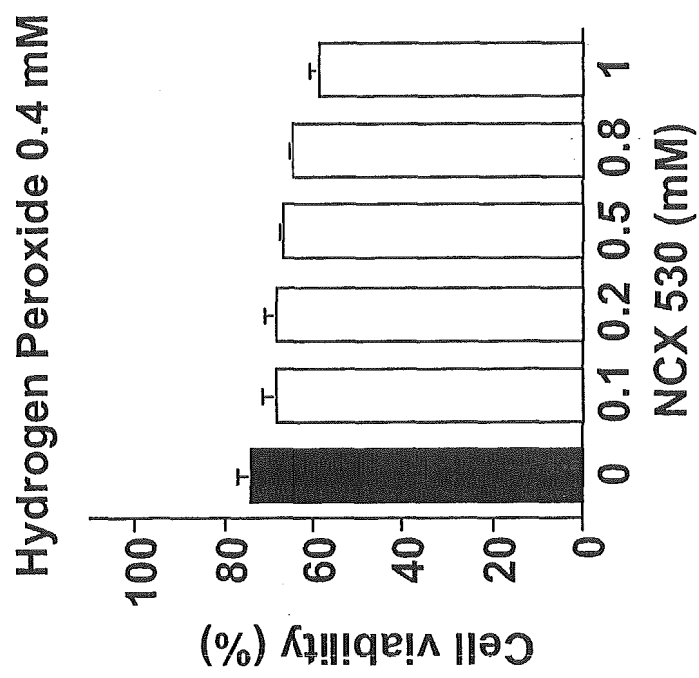


C



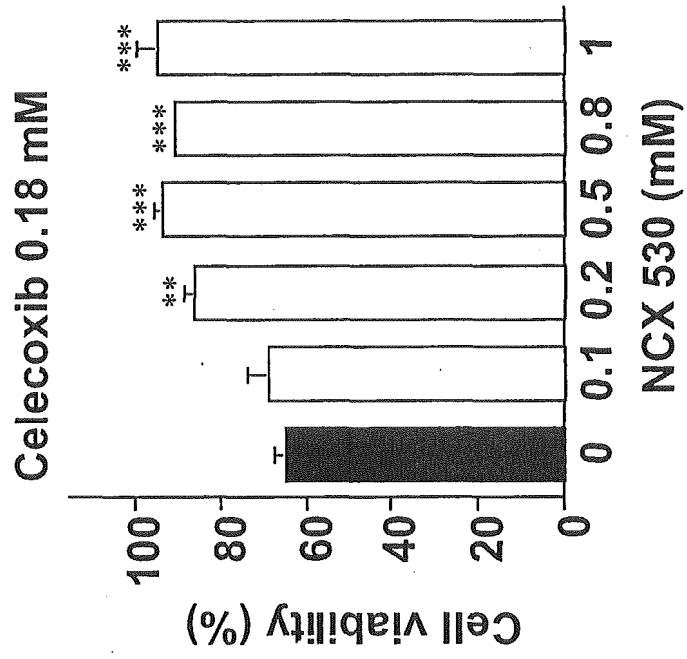
Tomisato et al. Fig. 2

D



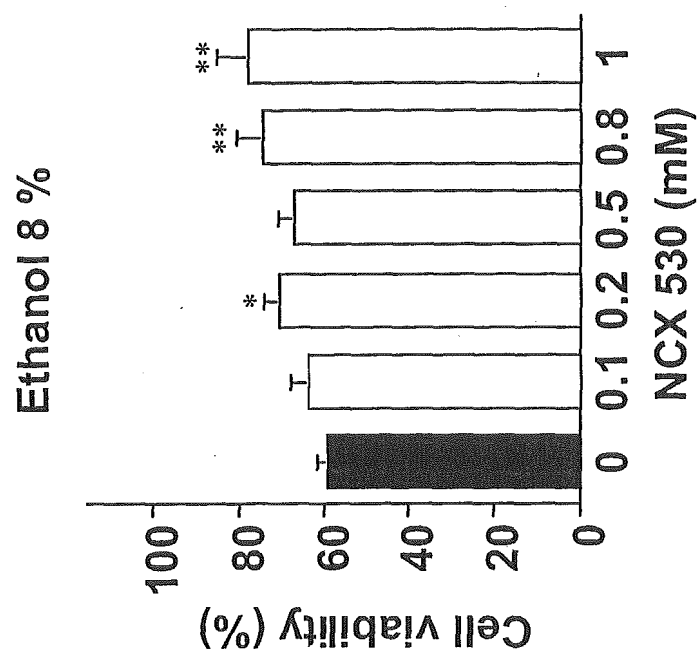
Tomisato et al. Fig. 3

A



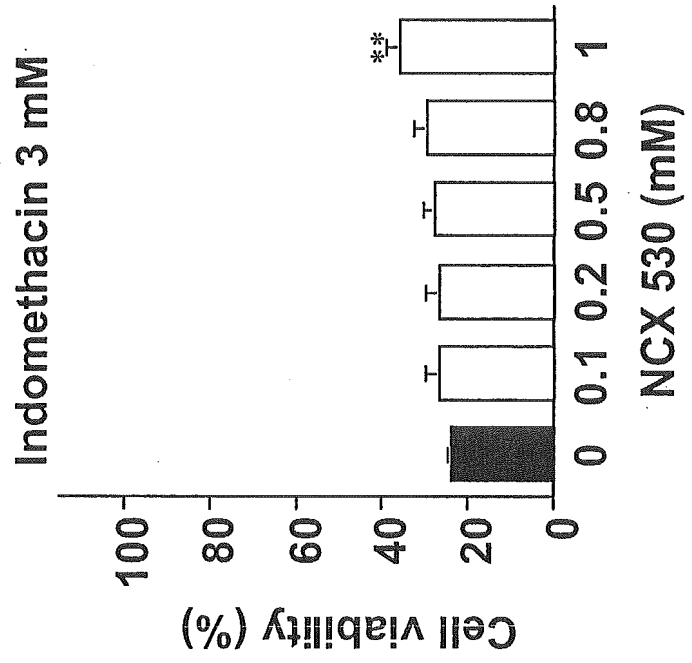
Tomisato et al. Fig. 3

B



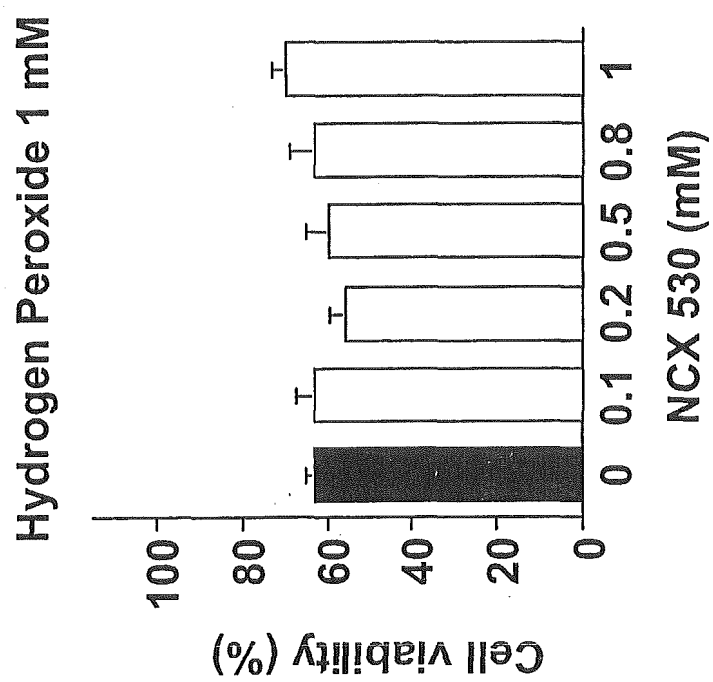
Tomisato et al. Fig. 3

C

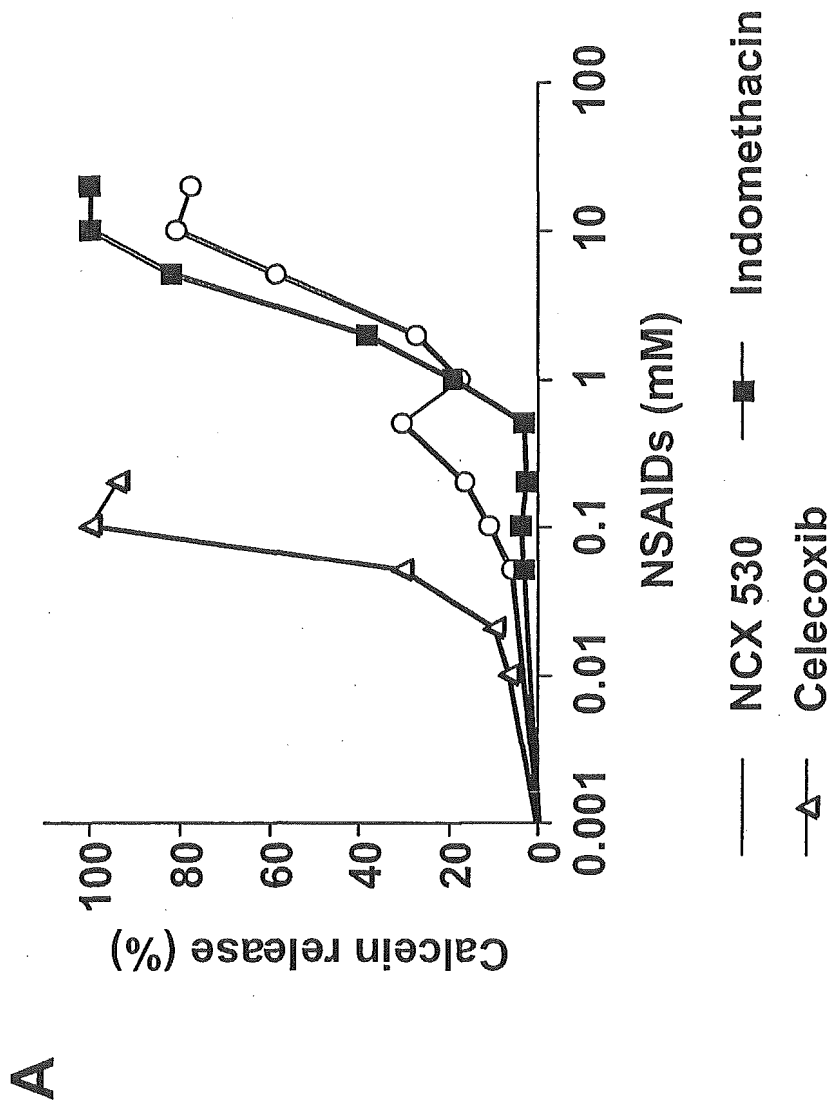


Tomisato et al. Fig. 3

D

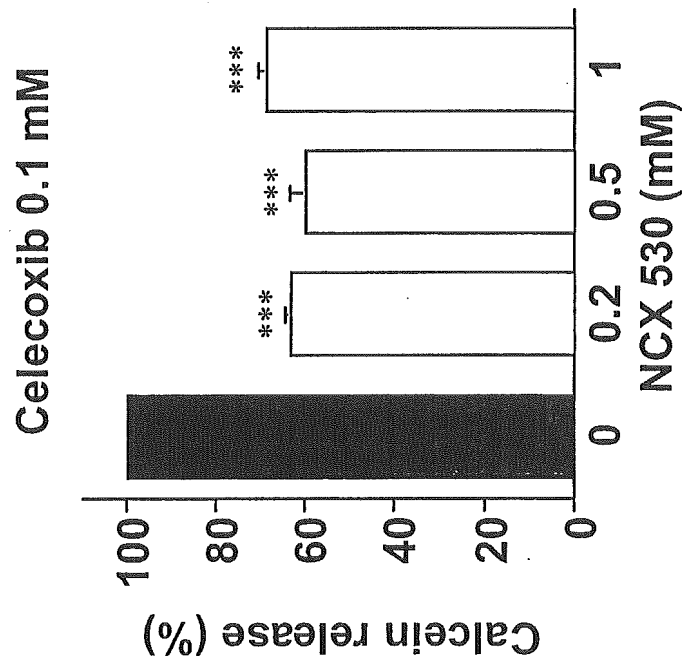


Tomisato et al. Fig. 4



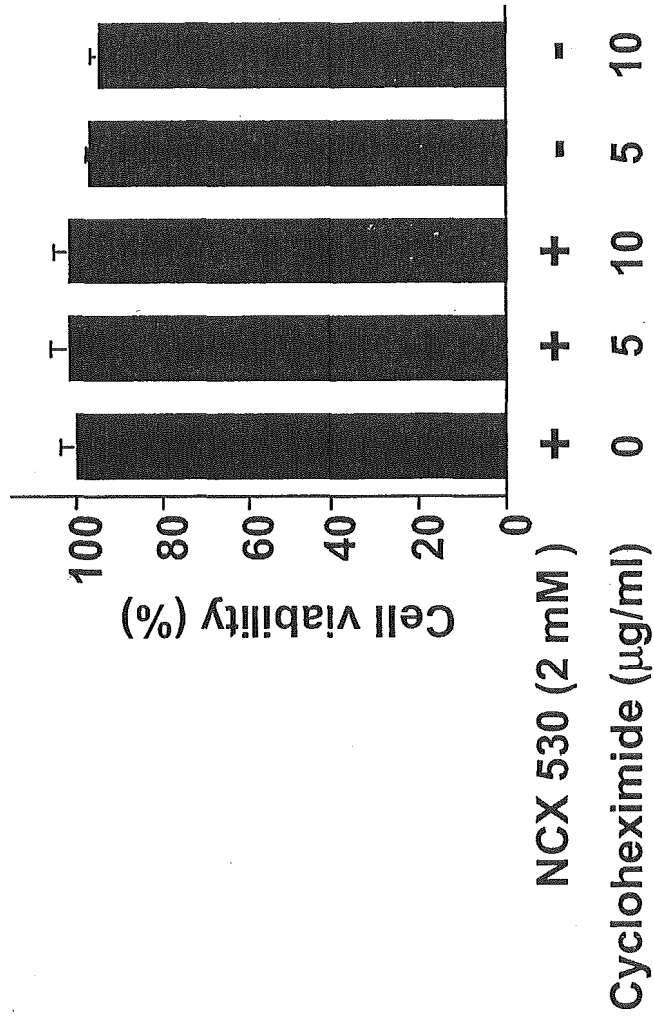
Tomisato et al. Fig. 4

B



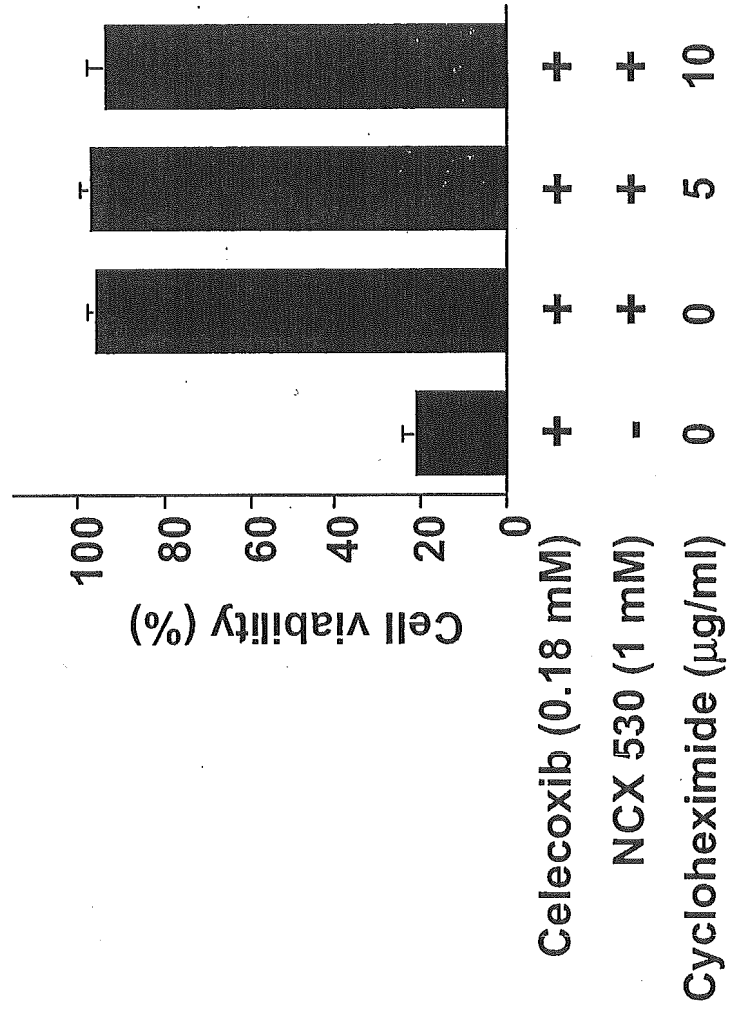
Tomisato et al. Fig. 5

A

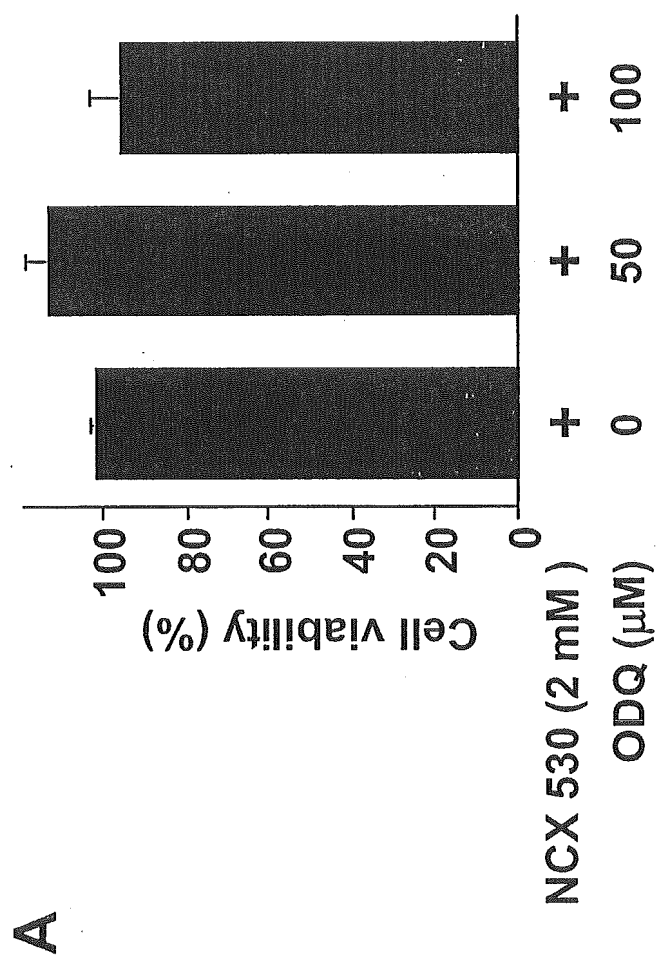


Tomisato et al. Fig. 5

B

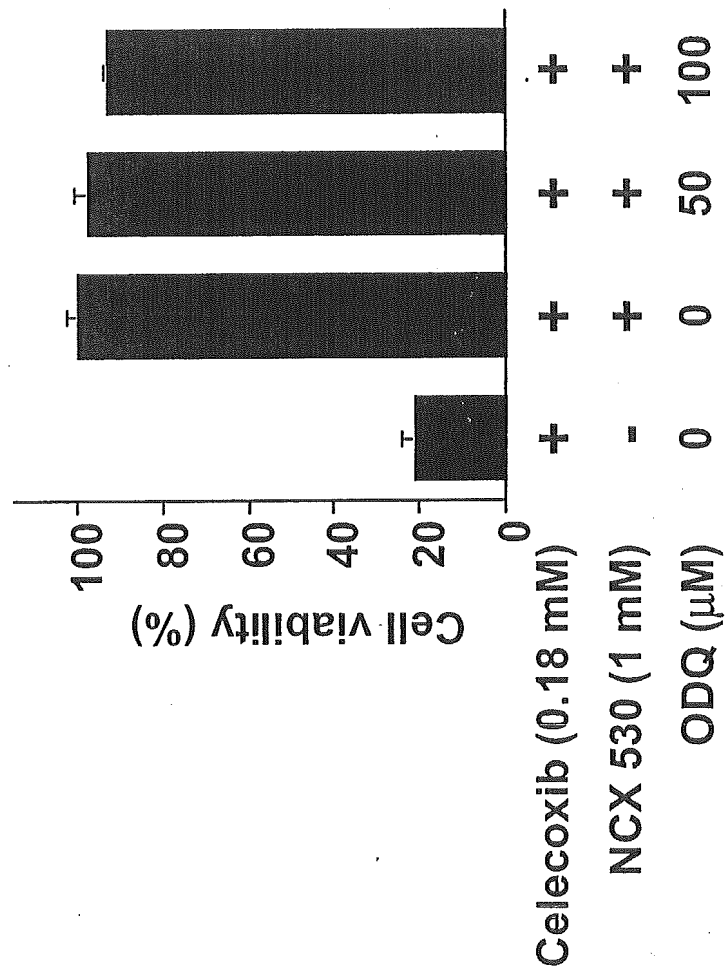


Tomisato et al. Fig. 6



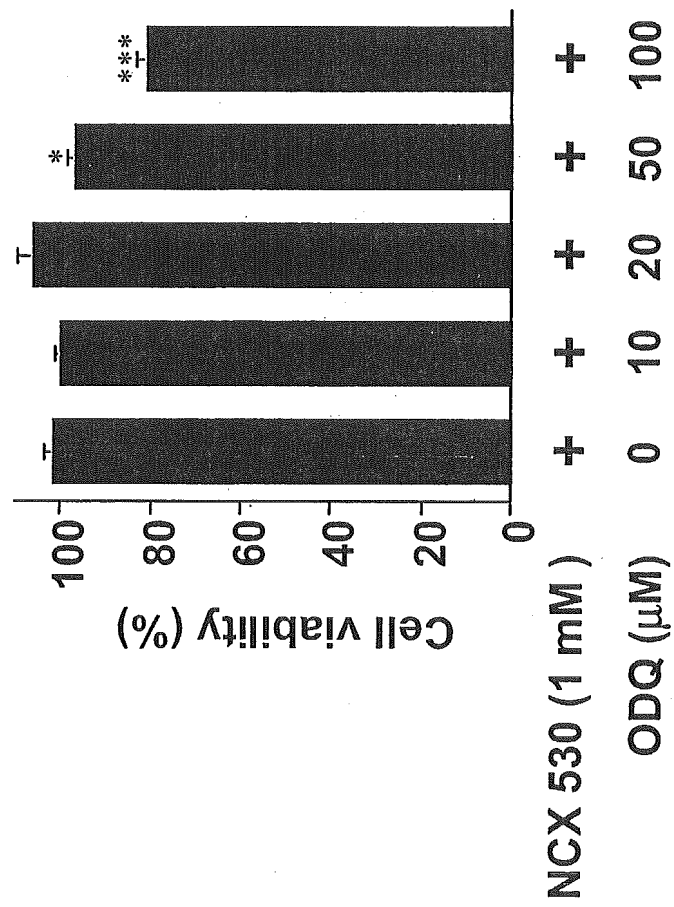
Tomisato et al. Fig. 6

B

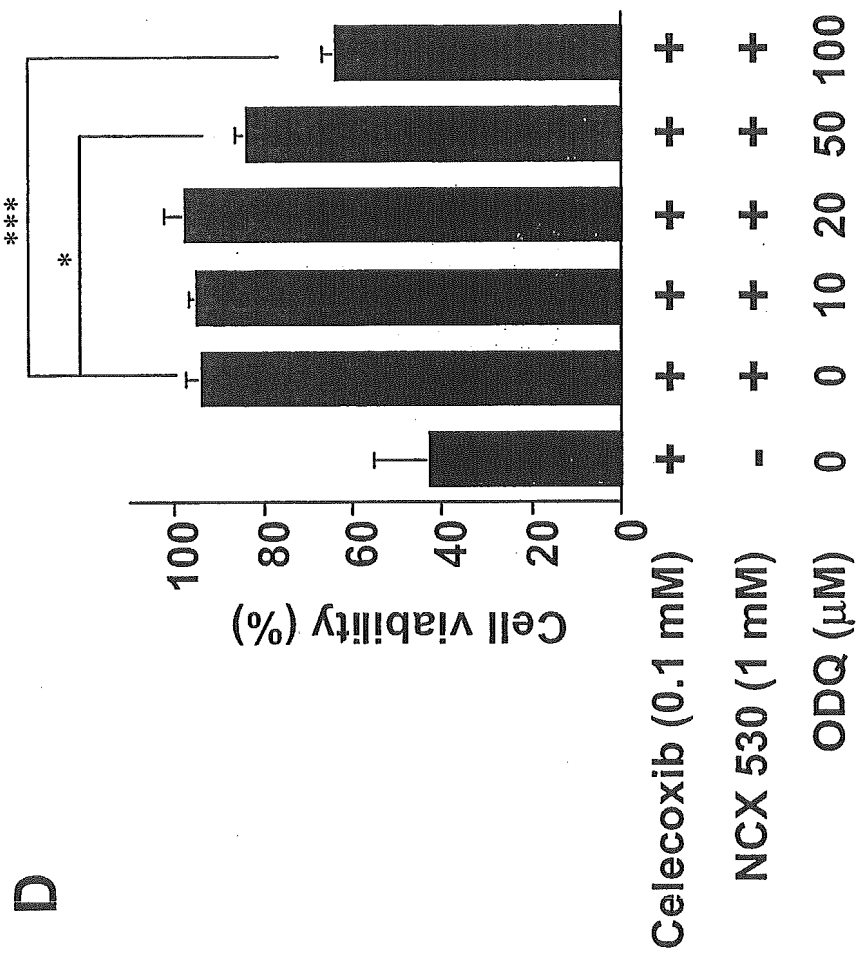


Tomisato et al. Fig. 6

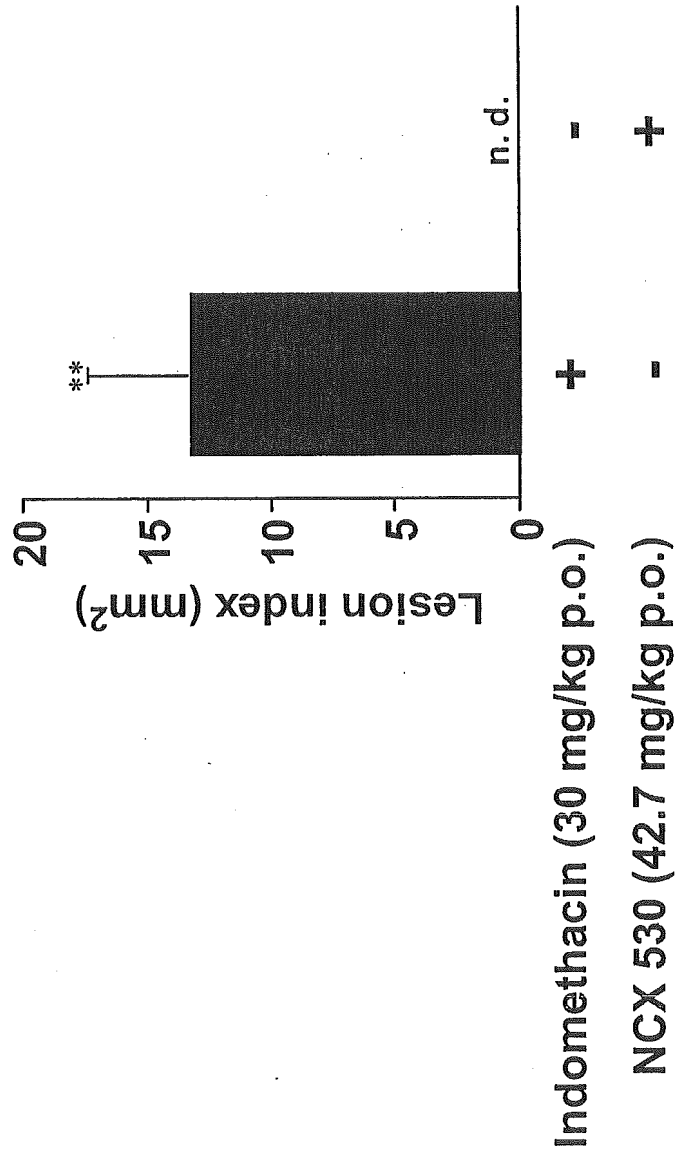
C



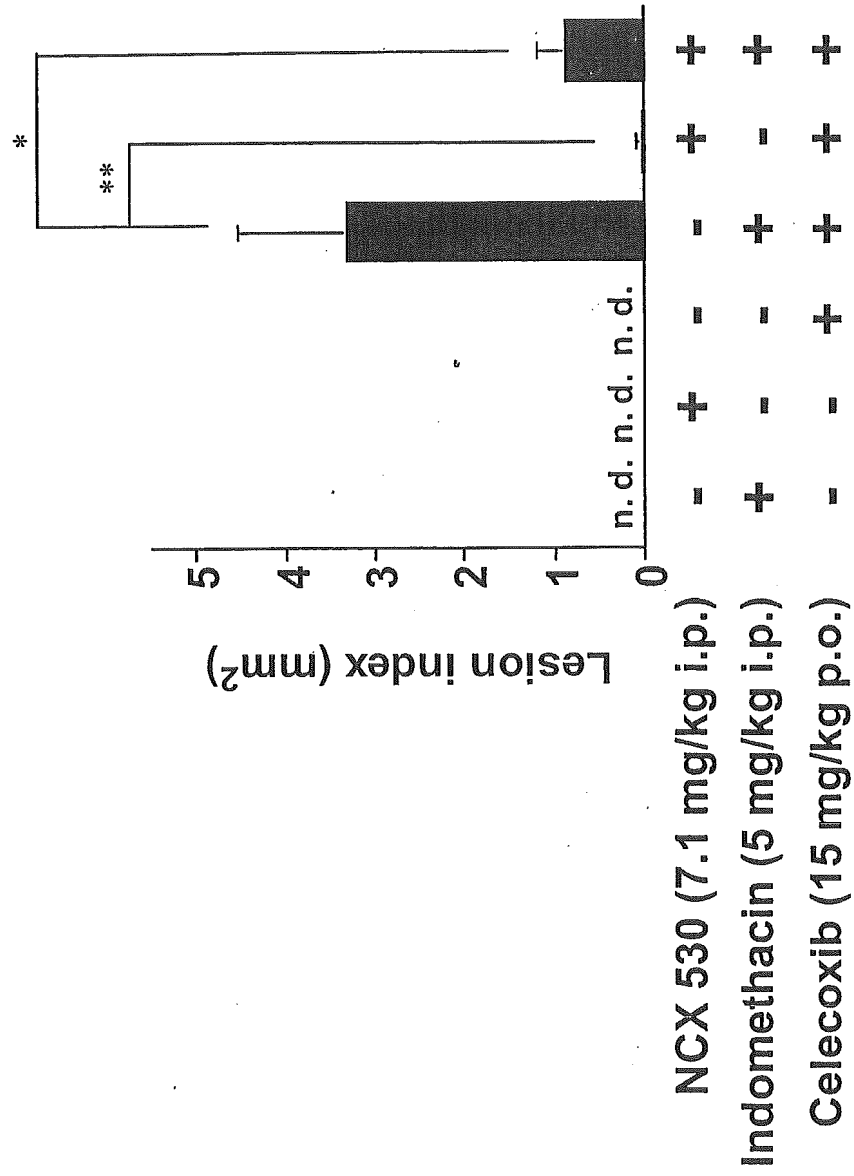
Tomisato et al. Fig. 6



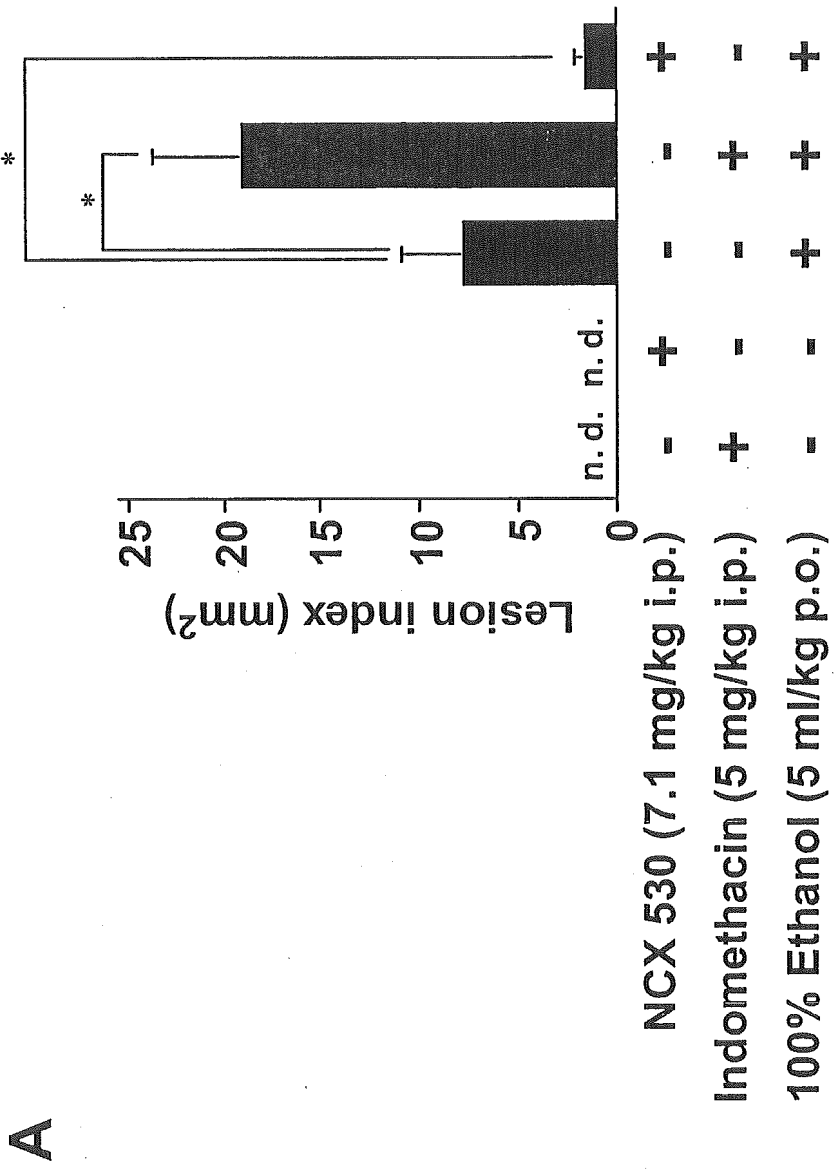
Tomisato et al. Fig. 7



Tomisato et al. Fig. 8



Tomisato et al. Fig. 9



Tomisato et al. Fig. 9

B

